

НОВАЯ M -КРИВАЯ СТЕПЕНИ 8

С.Ю. ОРЕВКОВ

Вещественная алгебраическая кривая в \mathbf{RP}^2 называется M -*кривой*, если она имеет максимально возможное число $(m-1)(m-2)/2+1$ компонент связности, где m — степень. В настоящей заметке мы строим M -*кривую степени 8*, расположенную с точностью до изоморфии как на рис. 1, где $\langle n \rangle$ обозначает n овалов, лежащих вне друг друга в соответствующей области. Реализуемость этого расположения ранее была неизвестна. После этого результата (вместе с недавними результатами [1, 3] и более ранними результатами Фидлера, Виро, Корчагина и Шустрина, см. обзор [2]) остается 6 расположений 22 овалов, реализуемость которых M -*кривыми* неизвестна.

Обозначим $\mathbf{RP}^1 \times \mathbf{RP}^1$ через $\mathbf{R}\Sigma_0$, а \mathbf{RP}^2 , раздутую в одной точке, — через $\mathbf{R}\Sigma_1$. Мы будем изображать $\mathbf{R}\Sigma_n$ в виде прямоугольника, противоположные стороны которого отождествлены в соответствии со стрелками. Если $n = 0$, то стороны суть $x \times \mathbf{RP}^1$ и $\mathbf{RP}^1 \times y$; если $n = 1$, то горизонтальные стороны представляют исключительную кривую, а вертикальные — слой (собственный прообраз прямой, проходящей через центр раздутия).

Лемма 1. Существует вещественная алгебраическая кривая C_0 на $\mathbf{R}\Sigma_0$ бистепени $(2, 4)$, расположенная относительно горизонтальных прямых L_1, L_2, L_3 и вертикальных прямых L_4, \dots, L_7 как на рис. 2, (в частности, $(C_0 \cdot L_1)_{p_3} = 3$), имеющая в p_0 простую двойную точку с невещественными касательными, а также имеющая два каспа в точках p_1 и p_5 .

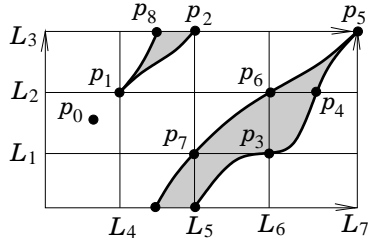
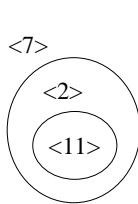


Рис. 1

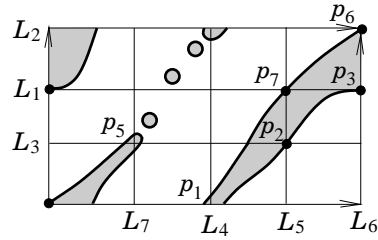


Рис. 2

Рис. 3

Доказательство. Из формулы рода следует, что C_0 должна быть рациональной. Поэтому мы зададим ее параметрически $f : \mathbf{RP}^1 \rightarrow \mathbf{R}\Sigma_0$, $f(t : 1) = ((x :$

Typeset by \mathcal{AMSTEX}

$u), (y : z)\right)$, где

$$\begin{aligned} x &= t^2, & u &= 1, & y &= t^2(t+1)(t-t_3), & z &= (t-t_1)(t-t_2), \\ t_1 &= \frac{5-\sqrt{17}}{4} \approx 0.219, & t_2 &= \frac{2-\sqrt{17}}{13} \approx -0.163, & t_3 &= \frac{11+\sqrt{17}}{4} \approx 3.781. \end{aligned}$$

Введем аффинные координаты $X = x/u$, $Y = y/z$. Можно проверить, что

$$y(t) + \alpha z(t) = (t+t_1)(t-1)^3, \quad Y(t_0) = Y(-t_0) = -\frac{\alpha}{3}, \quad Y(1) = Y(-t_1) = -\alpha,$$

где $t_0 = i\sqrt{\frac{-4+\sqrt{17}}{3}} \approx 0.203i$, $\alpha = 2 + \sqrt{17} \approx 6.123$.

Зададим прямые $L_1 = \{y + \alpha z = 0\}$, $L_2 = \{y = 0\}$, $L_3 = \{z = 0\}$, $L_4 = \{x = 0\}$, $L_5 = \{x = t_1^2 u\}$, $L_6 = \{x = u\}$, $L_7 = \{u = 0\}$ и точки (в аффинных координатах) $p_0 = (t_0^2, -\frac{\alpha}{3})$, $p_1 = (0, 0)$, $p_2 = (t_1^2, \infty)$, $p_3 = (1, -\alpha)$, $p_4 = (t_3^2, 0)$, $p_5 = (\infty, \infty)$, $p_6 = (1, 0)$, $p_7 = (t_1^2, -\alpha)$, $p_8 = (t_2^2, \infty)$. Из вышеприведенных формул вытекает, что $(\pm t_0, 0, t_1, 1, t_3, \infty, -1, -t_1, t_2) \mapsto (p_0, \dots, p_8)$. Поскольку $L_j \cdot C_0 = 4$ или 2, мы имеем $C_0 \cap (\bigcup L_j) = \{p_1, \dots, p_8\}$. К тому же, по формуле рода C_0 не имеет самопересечений кроме p_0 . Таким образом, C_0 можно провести единственным способом. \square

Лемма 2. Существует вещественная алгебраическая кривая C_1 на $\mathbf{R}\Sigma_0$ би-степени $(4, 4)$, расположенная относительно горизонтальных прямых L_1, E_2 и вертикальных прямых L_3, E_7 как на рис. 8, причем $(C_1 \cdot L_1)_{q_6} = 4$, и C_1 имеет особенность типа X_{10} (простое касание трех гладких ветвей) в q_5 .

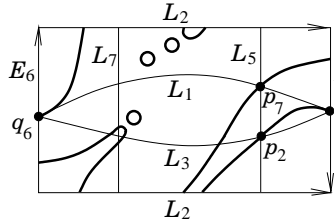


Рис. 4

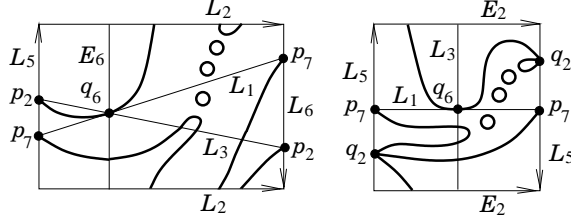


Рис. 5

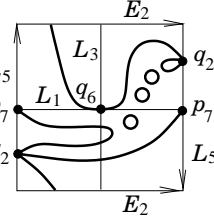


Рис. 6

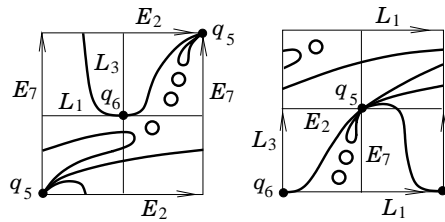


Рис. 7

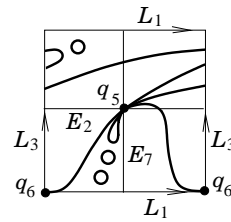


Рис. 8

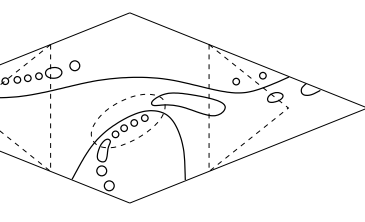


Рис. 9

Доказательство. Раздутье (соответственно, стягивание), преобразующее точку p в прямую E (соответственно, наоборот), будет обозначаться ниже через $p \uparrow E$ (соответственно, $E \downarrow p$).

Шаг 1. Сгладим C_0 как на рис. 3.

Шаг 2. $p_6 \uparrow E_6$, затем $L_6 \downarrow q_6$ (получим $\mathbf{R}\Sigma_1$ на рис. 4 и 5).

Шаг 3. $p_2 \uparrow E_2$, затем $L_2 \downarrow q_2$ (получим $\mathbf{R}\Sigma_1$ на рис. 6).

Шаг 4. $p_7 \uparrow E_7$, затем $L_5 \downarrow q_5$ (получим $\mathbf{R}\Sigma_0$ на рис. 7 и 8). \square

Сглаживая особенность X_{10} на рис. 8 (для обоснования выполнимости сглаживания мы отсылаем читателя к [4]), можно получить кривую, задаваемую многочленом с многогранником Ньютона $[(0, 0), (4, 0), (4, 3), (0, 4)]$, карта которой в смысле [5] изображена в центральном шестиугольнике на рис. 9. Склейвая ее с картами треугольников $[(4, 0), (10, 0), (4, 3)]$ и $[(10, 0), (16, 0), (4, 3)]$, мы получаем карту треугольника $[(0, 0), (16, 0), (0, 4)]$, изображенную на рис. 9. Использованные карты треугольников взяты из [5, 6]; они обе являются бирациональными преобразованиями одного и того же сглаживания особенности X_{10} .

Для завершения построения кривой на рис. 1 мы поступим как в [1]. А именно, возьмем четыре вещественные коники в \mathbf{RP}^2 , попарно максимально касающиеся в одной и той же точке, и вклейм в точку касания карту, изображенную на рис. 9.

СПИСОК ЛИТЕРАТУРЫ

1. Б. Шевалье, *Четыре M-кривые степени 8*, Функц. анализ и его прилож. (в печати).
2. A.B. Korchagin, *The first part of Hilbert's sixteenth problem: history and main results*, Math. Series, Texas Tech University **19** (1997), 85–140.
3. S.Yu. Orevkov, *Classification of Flexible M-curves of Degree 8 up to Isotopy*, <http://picard.ups-tlse.fr/~orevkov>.
4. E.I. Shustin, *Lower deformations of isolated hypersurface singularities*, Алгебра и анализ **11** (1999), no. 5, 221–249.
5. О.Я. Виро, *Вещественные алгебраические многообразия с предписанными топологическими свойствами*, Дисс... д.Ф.-м.н., Ленинград, 1983; Англ. перевод 1-й главы, *Patchworking real algebraic varieties*, <http://www.math.uu.se/~oleg>.
6. О.Я. Виро, *Вещественные алгебраические кривые: построения с контролируемой топологией*, Алгебра и анализ **1** (1990), no. 5, 1–73.

УНИВЕРСИТЕТ им. Поля Сабатье (Тулуза)
E-mail address: orevkov@picard.ups-tlse.fr

МИ РАН им. В.А. Стеклова
E-mail address: orevkov@mi.ras.ru